# 落槌感度試験機における起爆機構

日下部 正 夫・石 川 昇\*

落鎚感度試験機は爆薬の衝撃感度測定機として広く 各国で用いられ、我国でも正式に JIS に採用されてい る。1)試験法は試料 0.05~0.1g を 2 枚の規定原の錫箔、 径約 20mm 及び径約 10mm の 2 枚で包み、 これを ショアーの硬さ 65° 以上の鋼柱(径,高さ共に 12.7 mm) でアンビル上に挟み、瓜量 5kg の落槌をこの上 に落下させるもので、一定の高さから連続 10 回打竪 して、10回共爆発しない場合の最高の高さを不爆点と 称し、これで爆薬の衝撃感度を表示するものである。 連続 10 回打撃して 10 回とも爆発する最低の落高を 完爆点というが、通常この完爆点と不爆点とは大きな 違いがあり、完燥点が不燥点の2倍以上になるのもめ づらしいことではない。爆発率も、この間で連続的に 変化するので、10回程度の打撃で不爆点を精度よく、 且つ再現性よく測定することは本質的に困難である。 また試料の包み方、その他種々の要因の為測定の再現 性が必ずしもよくなく、為に JIS でもピクリン酸を標 準薬とし、その標準不爆点を 13cm と定め、測定時に は必ずピクリン 酸の不爆点 P を試料爆薬の不爆点と 同一条件下で測定し、試料の実測不爆点 に 13/P を 「乗じてその試料の標準不燥点を算出するよう規定して ある。

当所に於いても、昭和28年に設置されて以来試験検定に使用されて来たが、本機自身の試験精度、及び再現性の向上の為努力して来ており<sup>2)</sup> 現在では一応信頼出来る試験機として活用されている。

しかし最近の報告によれば<sup>3</sup>)、薬量を JIS の範囲をこえて 0.01g の小量から 0.075g 程度迄変えて落組感度を測定すると、小薬量では一般に感度が低くなる。即ち不燥点が高くなる傾向をもち、T.N.T.では薬量25mg 附近で感度最大となり、これより小量或は大量の薬では感度が低くなることが報告されている。

著者等は初め本試験機の機械的、力学的な特性について調べる目的で以下の研究を初めたのであるが、本 試験機で衝撃したときの試料爆薬の爆発過程について もいくつかの事実が明らかにされた。この結果は爆薬 の起爆という大きな主題の上からも、狭くはこのよう な試験機の改良という点からも意味があるものと思わ れるので、現在までの結果を まとめて報告する。

#### 1. 準 備

まづ以下の測定を行う前に、落槌の落下を規正する ガイドレールの垂直度を調整した。ガイドレールの真 下に水銀を消した容器を置き、レールの上方から、レ ールと水銀面によるその像とが一直線に見えるように して、レールを鉛直に固定した。

落高測定用尺度を 1mm 目盛毎にカセトメーターで 読み,全長にわたつて ±0.01mm 以上の誤差のない ことを確めた。この程度の精度なら以後の落高値の尺 度自身による誤差は無視してよい。

## 2. 落槌の落下時間

落槌はガイドレールに沿つて落下するが、この為の抵抗其他の原因で理論値より遅い落連で落下する。。 従つて落連は本試験機の動作が正常か否かをしらべる上の1つの目安となるものであるが、その測定を特度よく行うには相当困難であるので、これに代つて落槌の落下時間を測定して理論値と比較した。

重量 5kg の落槌は鋼柱から所定の高さに直流電磁石でつりさげられ、電磁石の電流を切るとガイドレールに沿つて落下する。この落高はガイドレールに固定した尺度 (1mm目盛) と落槌に取付けられた指針により測定される。従つて上下2回の目盛合せで最大 0.2 mm 程度の誤差はまぬかれない。

時間の測定には Hewlett Packard 社製の 524 型 Electronic Counter に 526B Time Interval Plug-in Unit を取付けたものを用いた。この装置の 誤差は ± 0.2 µsec であり無視してよいが、現象からの start 及び stop の両パルスの取出し方で測定の特度が左右 される。ここでは電磁石鉄心と落槌とを switch の両極として用い、これに電流を通じておき、落槌の落下による両者の離脱により、電流が切れ start pulse を生ずる。又餌柱頭部に Fig. 1 の如くセロテープを張り、その上に短ざく形の錫箔を2枚張りつけ、その間隙を約1mm 程度にしたものを用意しておく、落槌がこの上を打つと2枚が短絡される。このような off 及

昭和38年9月10日受照

<sup>\*</sup> 京京工業試験所第7部 平塚市新宿

び on の阿 switch 作用で夫々約 12 ボルトの正及び 負の両パルスを得て、counter を動作させる。このよ うにして各落高に対する落槌の落下時間を各々30~50 回測定した。その平均値 $\bar{t}$ を Table 1 の第2列に示 す。第4列にはこの $\bar{t}$ と理論計算値t cals との差を示 してある。t cals の計算に用いる地球の重力の加速度 の値は、国土地理院の測定した当所の所在地平塚市内

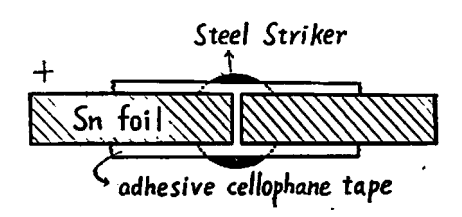


Fig. 1 Device for generating a stop pulse

Table 1 Drop Duration of Hammer

Fall Height  h	Mean Drop Duration	Standard Deviation	$\vec{t}-t$ cals	$\frac{t-t \text{ cals}}{t \text{ cals}} \times 100$	
50mm	0. 10454 sec	0.00106 sec	+0.00351sec	+3.47%	
100 "	0.14795 "	0.00141 "	0.00508 "	3.55 #	
200 "	0. 20610 "	0.00102 "	0.00405 #	2.00 #	
300 "	0.25206 "	0.00108 "	0.00460 "	1.86 #	
500 <i>n</i>	0.32410 "	0.00063 "	0.00463 "	1. 45 #	
750 "	0.39602 "	0.00042 "	0.00475 "	1.21 "	
* 50 #	0. 10631 #	0.00118 "	0.00528 "	5, 23 "	
* 100 "	0.14811 "	0.00117 "	0.00524 "	3.67 #	
* 300 "	0. 25402 "	0.00153 "	0.00656 #	2.65 //	

t cals: Calculated drop duration

の2地点での値<sup>3</sup> から当所の位地について内挿した値 979.7688gal を採用した。Table の上6 行はガイドレ ールと落槌の滑動部から余分の潤滑油を乾布で拭きと つた場合であり,次の\*印を附した3行は,特turbine oil をたつぶり施した場合である。この2 群を比較す ると,前者の方が落下時間が短かく,余分の油は潤滑 剤よりもむしろ落下抵抗となることが判る。又標準個 差も大きくなつていて,落連のパラツキも大きい。即 ち油も多すぎるとかえつて逆効果である。

Table 1 を見ると、落高が増すと理論値との差が増加するが、これの理論値に対する百分率は最右列に示す如く、落高と共に減少する。即ち理論値との差は落速のおそい落下の初期で大きいことが判る。落高の腕みの誤差を +0.2mm とした場合、これによる t calsの増加は 50mm 落高で約0.3%、500mm 落高で約0.03%であり、測定値の標準偏差のほんの一部をカバーするのみであり、落高の読みの誤差は重大な影響はない。ただ 50mm 以下のもつと低い落高ではこの影響も無視出来ない。

尚電磁石で吊り下げた落下待期位置の落槌の姿勢の 影響を調べる為,落槌をレールの一方に押しつけ,又 は斜に押しつけた姿勢から落下させたが,この影響は 認められず,従つて落槌を電磁石に取付ける際の個人 差も影響しないことが認められた。

以上の結果から、落下時間従つて又最終落速は非常 によい再現性をもち、衝撃試験機としては、この点に 関する限り十分な性能をもつと官える。

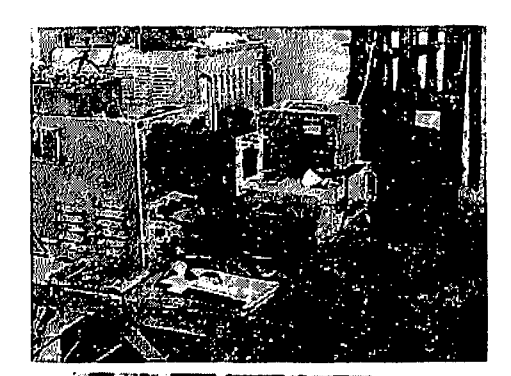
## 3. 加速度計による諸測定

#### 3.1 装 镫

落槌が網柱に衝突するときの、衝撃力の時間的経過を調べる為、東芝製の振動衝撃測定装置 (Photo. 1 参照)を使用した。これのピックアップはチタン酸鉛を圧電索子としている。これを落槌の頂部にネジ穴をあけ垂直にネジ止めした。(Photo. 1 参照) ピックアップ出力は本体増幅器で増幅し、その出力信号を Techtronix 534 型シンクロスコープの垂直軸に入れ(Photo. 1 参照) 単掃引により波形を撮影記録する。ピックアップヘッドを含めての落槌重量は5kgになるように留意した。またピックアップヘッドと増幅器とはフレキシブルなコードで連絡しているから落下には大きな抵抗にならないと考えられる。

この増幅器の周波数レスポンスを可聴周波発振器及び全波信号発信器を用いて調べると,300 サイクル附近で最大感度をもち,20 サイクルでその91.3%,20 kc で77.3% であり,外挿により25kc で3db 感度がおちる。又実例により200kcでは約40dbも低下す

<sup>\*:</sup> In this case, guide rail is supplied with excess turbine oil



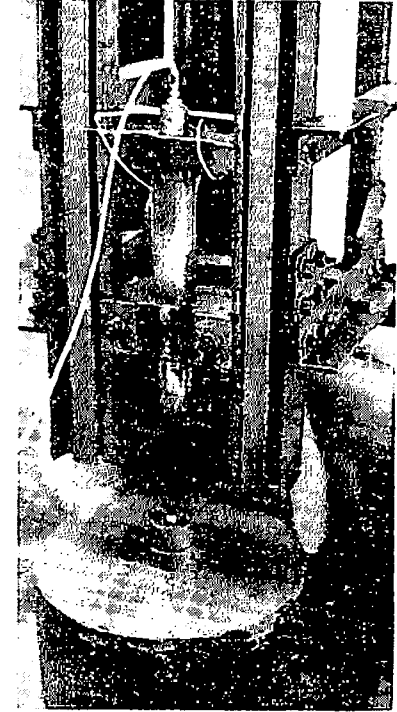


Photo. Experimental arrangement for recording the pressure variation during impact.

る。従つて 1/3×1/25k≒13µsec 以下の短時間現象は 正確には測定出来ない<sup>6)</sup>。 このことは得られたオシロ グラムを検討する際、常に留意せねばならない。

頭部にピックアップを装着した落槌の真下及び前面 中央部を金槌で打撃したときに得られる波形は Fig. 2 に示すような減衰振動である。

Fig. 2 (a) は落槌の真下を金槌で打撃して得られた 被形で初期部分は複雑で解析困難であるが、後半の波 形について基本周期を調べると 0.137msec であり、 従つてその周波数は約 7.4kcであつた。落槌の材質で ある鉄及び砲金中の音速と落槌の上下の長さから、音 波がこの中を通過する時間を計算すると 0.0726msec であり、基本周期はこれの約2倍である。即ちこれは

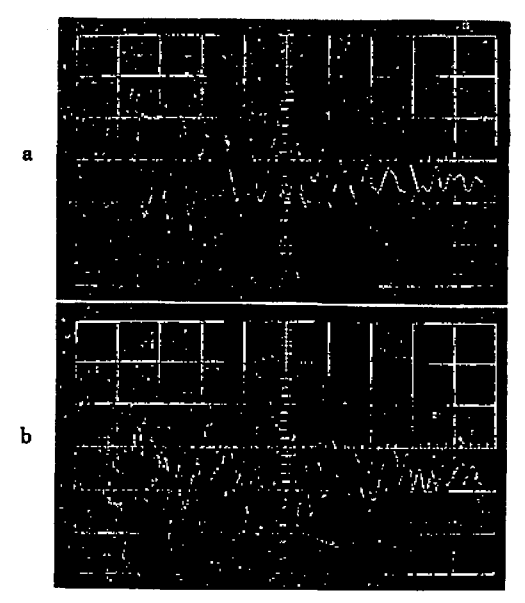


Fig. 2 Oscillograms of the disturbance in the drop hammer caused by impact with a hammer (Sweep speed:500µsec/section)

- (a) Hit point: Bottom of the drop
- (b) Hit point: Center of the front of the drop hammer

両端自由な棒の縦振動の基本周期に相当し、音波が棒 長を往復する時間である<sup>70</sup>。Fig. 2 (b) は落槌の前面 中央を打撃して得られた波形で (a) 程の規則性はな いが、比較的解折しやすい後半部での平均周波数は約 6.9kc であった。

### 3. 2 空打ちによるオシログラム

ピックアップを装着した落槌は既設マグネットで吊 すことは出来ない。そこで以後の実験はあらかじめ落 槌を紐で所定の高さに吊し、この紐を鋏で切つて落下 させた。

まづ試料をアンビルと鋼柱との間に挟まずに空打ち すると、Fig. 3 のようなオシログラムが得られる。

これらの波形は落高を変えても大体同様な形の比較的規則的な波衰振動であり、衝撃が金槌で打撃するよりも理想的な形でなされていることが判る。後半部の波形の基本周波数は、7.3kc, 7.4kc, 7.2kc 等となり、金槌で打つて得られた波形の基本周波数とよく一致している。又減衰率は一周期当り、0.930%である。従って落槌の下部の衝撃がピックアップに伝わるときにはもとの値の 0.930%=0.964 に減衰していると考えられる。この値はオシログラムの垂直軸の値を計算する際に補正因子として使用した。

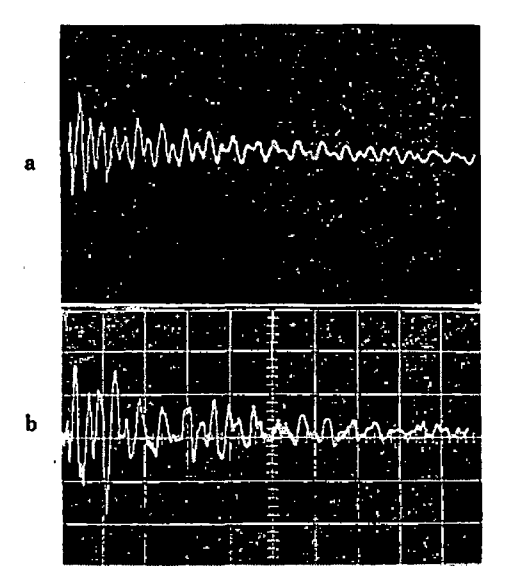


Fig. 3 Oscillograms for blank hit (Sweep speed; 500µsec/section)

(a) Fall height; 5cm
(b) Fall height; 20cm

以上のような空打の場合には最初の打撃による加速 度の変化は、非常に短い時間幅のパルスであり、この 測定系では波形として現われない。従つて衝撃時の真 の加速度は求め得ないが、一応 Fig. 3 のような波形 の最大振幅をとつて見ると、各落高について Table 2 に示すような値を得る。加速度は単位 G≡980gal を 用いて示す。

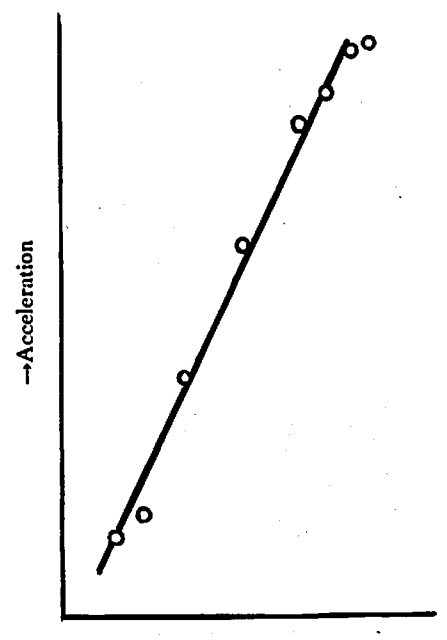
Table 2

Fall height cm	Acceleration unit: 980 gal≡G
2	68. 6
3	84. 9
5	212. 1
10	331.9
20	435. 1
30	457; 1
40	497.1
50	506. 3

これを Fig. 4 の如く加速度を落高の対数に対して 図示すると、測定点は略々直線上に並ぶ。加速度即ち 圧力は落高 h の対数 log h に比例する。しかしこの 値は打撃時の加速度そのものではないことは上記の通りである。

#### 3. 3 不活性試料の打撃

次に試料として,不活性な食塩、硼酸,ベニガラ,



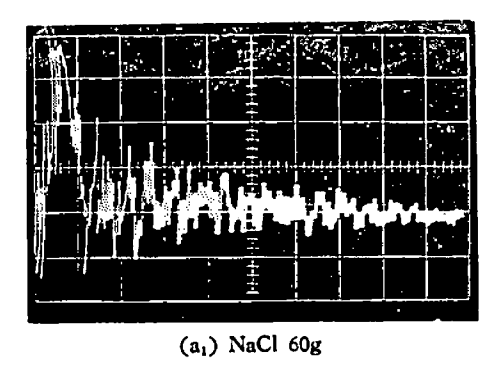
→Fall Height

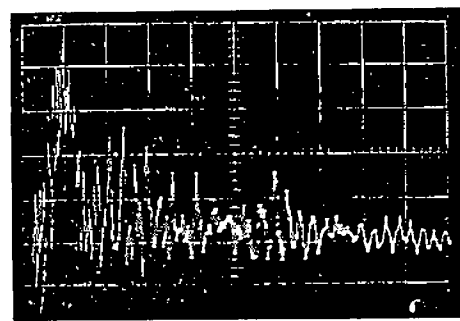
Fig. 4 Acceleration against log-height relation

薄片状にけづりとつた固形パラフィン等を取り上げ、 これらを夫々 60mg, 90mg, 120mg 秤量し所定の方 式で錫箔に包み込んだものを、落高 25cm で打撃し て得られたオシログラムを示すと、Fig. 5 の如くであ る。

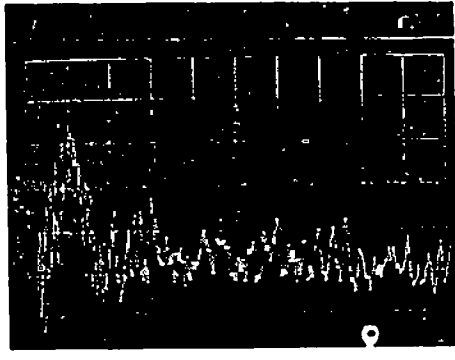
5a1~5a3は NaCl に対するオシログラムで、夫々薬量の異なる場合であるが、いづれの波形も NaCl に特有な形を持ち、一見して他の薬紙によるものと区別出来る。Fig. 5b の各々は NaCl 以外の薬紙に対するオシログラムである。Fig. 5c のオシログラムは 錫箔の外包のみで中に薬を入れなかつた場合に得られるもので、この場合、上ぶたとして入れる錫箔(径10 mm)を1枚だけにしたもの、これを5枚にしたものの2種類についてオシログラムを得ている。いづれにしてもこれらの波形は薬種によつて特色ある形を示し、薬量によつてその模様は変らない。

空打ちの場合と異なり Fig. 6 にその典型的な形を示すように、波形の始まりから或る時間  $t_m$  たつた所に  $G_m$  なる最高値がある。この  $t_m$  の値は Fig 5a の 1 から 3 までに見られるように、薬量が大となるにつれて大きくなつている。このことと落高 25cm での終速 221.4cm/sec で試料の厚さを割つた数値とがよく一致することとから、この  $t_m$  が落槌により試料が圧縮される時間に関係するものと考えられる。従って  $G_m$  はこの圧縮過程で生ずる最高の加速度である。落

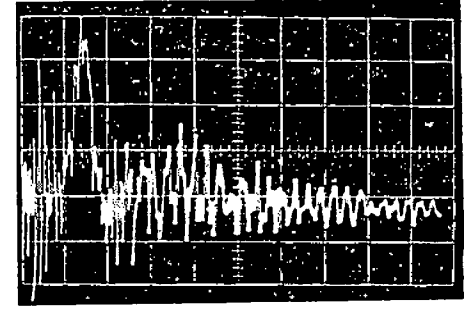




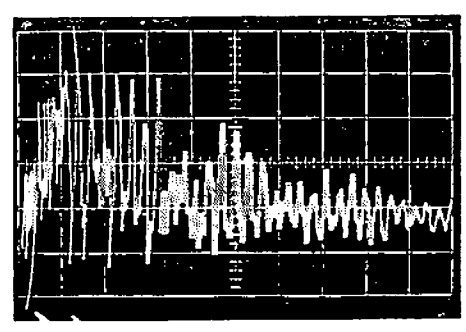
(a<sub>2</sub>) NaCl 90g



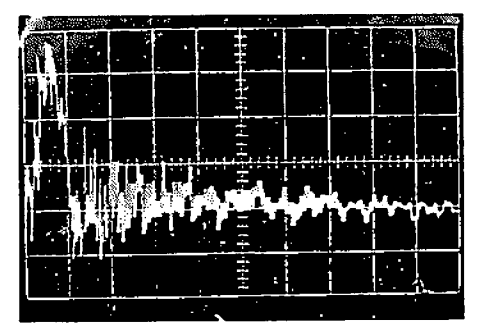
(a<sub>3</sub>) NaCl 120g



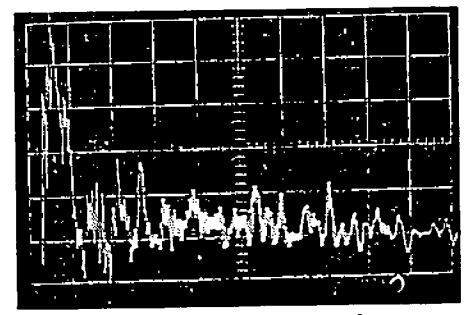
(b1) Parassin



(b2) Boric Acid



(b<sub>3</sub>) Rouge



(c) Tin foil envelope only

Fig. 5 Oscillograms for dummy samples (Fall height: 25cm)

( sweep speed : 500 µsec/section ) Y-axis : 86.61G/section )

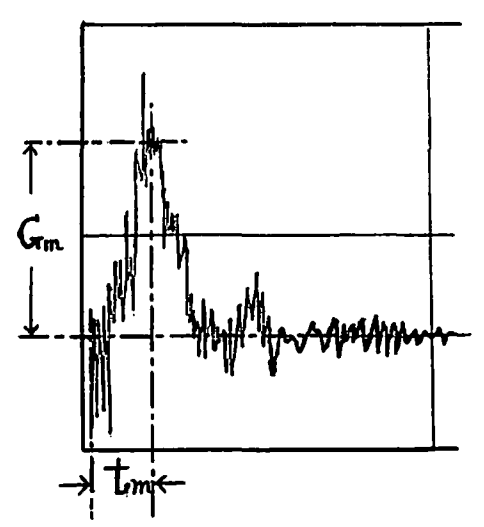


Fig. 6 Typical wave form for dummy samples
The superposed high frequency oscillation may refer to frictional compression.

槌の質量は 5kg 鋼柱の底面積 S は 1.297cm<sup>2</sup> である。又落槌頭部での圧縮波の反射を考えれば、加速度は実際の 2倍となっている。故に薬に加わった最大圧力  $P_m$  は  $P_{m=1/2}G_m \times 5$ kg  $\mathfrak{L}/1.297$ cm<sup>2</sup> で求められる。各試料に対する  $t_m$ ,  $G_m$  及び  $P_m$  の 平均 値を Table 3 に示す。

表に示すように、最高圧力  $P_m$  は硼酸を除けば、500 気圧前後という高い値となつていて、薬量が大となるにつれて、 $P_m$  に速する迄の時間  $I_m$  は大となつているが、 $P_m$  は薬量によって大逆はない。硼酸は他の試料と異なり、特異な波形のオシログラムを与えるが、これは硼酸が  $100^{\circ}$ C で分解して一分子の水を失つてメタ硼酸となり、 $140^{\circ}$ C では更に水分を放出し、更に加熱されて  $B_2O_3$  にまでなるため、圧縮過程で急激に水蒸気を放出する為波形は乱れ、且つこれらが吸熱反応であるので、最高圧力  $P_m$  も大きく出ないものと考えられる。

今落槌に加わる加速度は薬の圧縮過程で時間 はに比

Table 3 Parameters for compression process for dummy samples
(Fall height; 25cm)

Sample	F	Parastin		Boric Acid		NaCl		Rouge			Sn foil envelope			
Weight, mg	60	90	120	60	90	120	60	90	120	60	90	120	1 lid	5 lids
$G_m$ , $G$ .	295	286	273	229	233	230	334	289	282	269	290	277	372	403
$P_{m}$ . atm	548	532	508	425	433	427	621	537	524	500	540	516	693	750
t <sub>m</sub> μsec	538	725	875	500	625	700	325	400	400	275	300	325	175	200
W. joul	3.6	4. 3	4.8	2.7	3.3	3.6	2.6	2.7	2.7	1.7	2. 1	2.2	1.7	2.0
W/E×100%	28. 9	35. 3	38.8	22. 1	27. 0	29. 2	21. 1	22. 3	21.8	14.6	16.8	17.9	13.4	16. 2

例して直線的に増加し、これによつて初速  $v_0$  であつた落槌が時間  $T_m$  後に停止し、同時に最大加速度  $G_m$ に違すると仮定すると、薬の圧縮された厚み l は

$$l = v_0 t_m - \frac{G_m t_m^2}{6} \tag{1}$$

で求められる。一方落槌によつて薬になされた 仕事  $W=\int_{t=0}^{t} PdV$  (但し P は圧力,V は試料の容積) は上紀の簡単な仮定の下では,

$$W = \frac{S}{8} P_m t_m (4v_0 - G_m t_m)$$
 (2)  
S: 钢柱の底面積

となる。(1),(2) 阿式を用いて、試料に対して、Wを求め同時に落槌の運動エネルギーEに対する百分率 $W/E \times 100\%$ を求めたものをTable 3の下方の

行に示しておく。これらの値は極く簡単なモデルを用 いて得られたもので、単なる参考値に過ぎない。

これから判るように薬量が増加すると薬が吸収するエネルギーは増加している。このことは単位薬量当りに受けるエネルギーが薬の量にあまり関係しないことを意味し、従つてこの感度試験器では或程度の薬量の増減は感度測定値に影響しないという経験的事実と合うものである。パラフィン、硼酸等の W/E 比が比較的大きく出ているが、これは W の計算の元となる仮定が、これら試料のオシログラム波形と合致せず、W を実際より大きく見積ることになることは、Fig. 5 から明らかであろう。しかしいづれにしてもここに得られた W は一応の目安程度と考えられる。

#### 3. 4 爆薬の打撃

ピクリン酸, テトリル, P.E.T.N, T.N.T. 符を

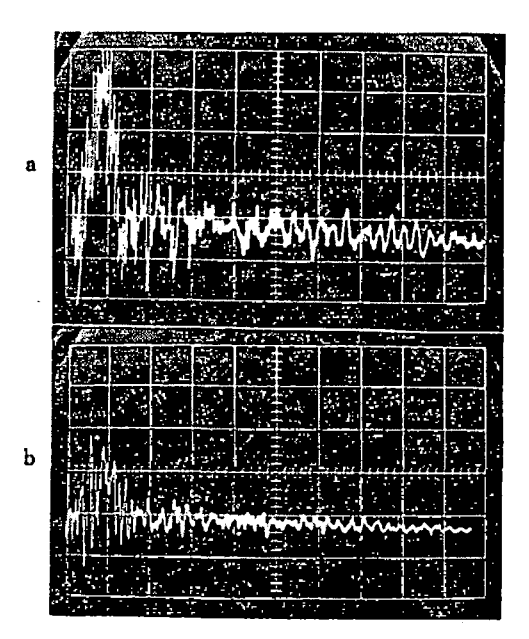


Fig. 7 Typical oscillograms for explosives (misfired) (sweep speed: 500 μscc/ section)

- (a) P. E. T. N. 90mg, fall height 25cm, Y-axis; 86.61G/section
- (b) T. N. T. 90mg, fall height 45cm, Y-axis; 433G/section

打撃したときにも不爆の場合には前節の場合と同様に 各薬種に対して特色ある波形のオシログラムが得られ る。Fig. 7 に示すものはその代表的波形である。

これらの波形についても  $G_m$ ,  $T_m$  を測り  $P_m$ , W, W/E を算出すると Table 4 に示した如くである。

表に見られるように、薬に加えられる最高圧力 Pm は当然落高の高くなるにつれて大きくなつているが、落槌の位置エネルギーのうち試料に加わつたエネルギーの比率 W/E はこの程度の測定精度では落高による影響は考察出来ないが、落高による変化はあまりないものと考えてよさそうである。

次に爆薬が爆発すると、オシログラムは非常に振幅の大きな複雑な振動波形となる。Fig. 8 は P. E. T. N. を試料とした場合のオシログラムであつて、Fig. 8 a は落高 25cm で不爆であつた場合の波形で、Fig. 7 に示した P. E. T. N. の波形と当然よく似た形をもつている。他の 8b,8c,8d,8e はいづれも爆発した場合の波形であり、圧縮過程を示す山の途中から、突然非常に振幅の大きく振動数の高い複雑な振動波形が現われ、ここで試料が起爆したことがわかる。

波形の始まりからこの爆発波形の立上りまでの時間  $T_e$  をこれら 4 つの場合について測ると共々 590 $\mu$ sec, 370 $\mu$ sec, 225 $\mu$ sec, 210 $\mu$ sec である。特に 8 b は多くの実験中で得られた稀な例であつて、圧縮過程を示す

Sample		T. N. (9	00mg)	T. N. T. (90mg)				
Fall height Parameter	15cm	25cm	28cm	35cm	45cm	55cm		
$G_m$ G.	212.2	320.5	381.1	519.7	585.6	649.6		
$P_m$ atm.	395	591	708	967	1,089	1,208		
t <sub>m</sub> μsec.	375	375	375	438	413	410		
W joul	1.48	2.82	3.48	5.2	7.0	8, 6		
$W/E \times 100\%$	20. 1	23.0	25.8	33.5	31.9	31.8		

Table 4 Parameters for compression process for explosives

波形の後段になつて始めて起爆している。この波形の 特異性に対応して他の例のように完爆でなく,この場 合には残薬が相当あつた。

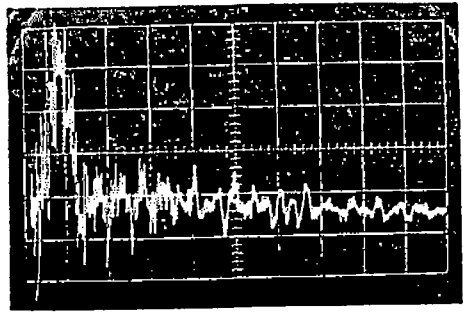
一般に P.E.T.N. は起爆した場合, 完爆することが多く, 残薬を生ずることは稀であった。(落高28cm 附近)

8 f の波形は P.E.T.N. が完爆したときのものであ

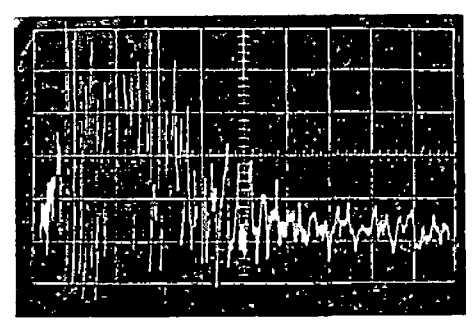
るが、Fig. 8 の他の波形と異なり、オシロスコープの 垂直感度を低くした為、圧縮過程の波形ではトリガー されず、爆発振動のみが記録されたものである。そこ でこのオシログラムでは Te は測定されないが、爆発 波形は scale out せず、その全般の模様がわかる。生 じた最大振幅から第出すると 3,500 気圧以上の圧力が 生じていることがわかる\*。

8f のように爆発波形のみのオシログラフを P. A. について記録したものを Fig. 9 に示す。ここに示した爆発波形のうちa及びbの2つは波形に山が2つあ

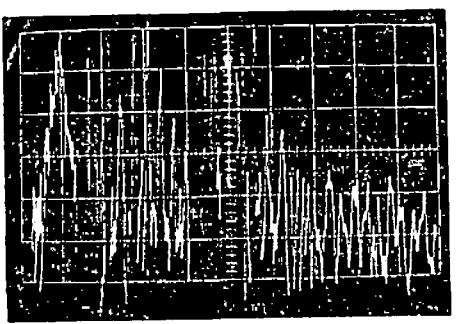
<sup>\*</sup> 測定系の周波数レスポンスを考えると,爆発波形中のスパイク状 peak の垂直方向の値は実際の値より低く出ているものと考えられる。



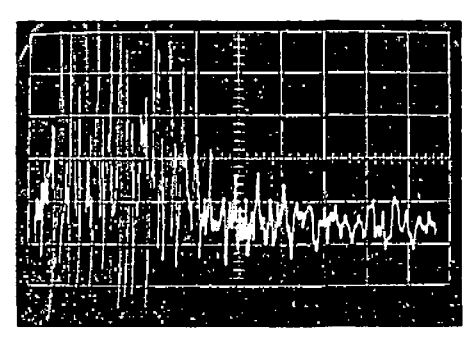
(a) Misfired, fall height 25cm Y-axis:86.61G/section



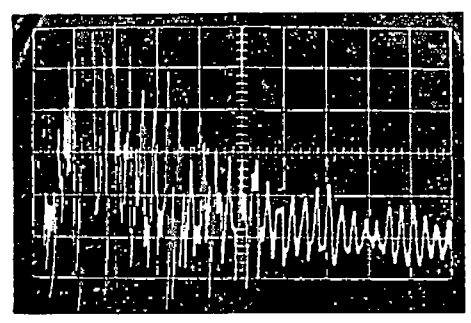
(d) Perfect explosion, fall height 35cm Y-axis: 217G/section



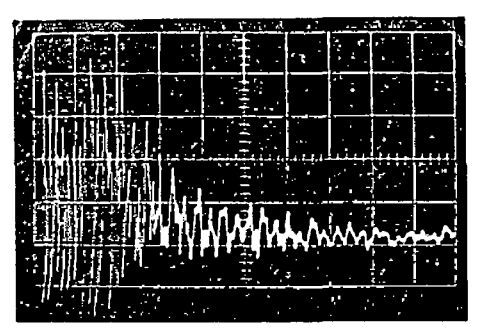
(b) Half exploded, fall height 28cm Y-axis; 86.61G/section



(e) Perfect explosion, fall height 35cm Y-axis: 217G/section



(c) Perfect explosion; fall height 28cm Y-axis; 86.61G/section



(f) Perfect explosion, fall height 35cm Y-axis; 433G/section

Fig. 8 Oscillograms for P. E. T. N. (sweep speed: 500 µsec/section)

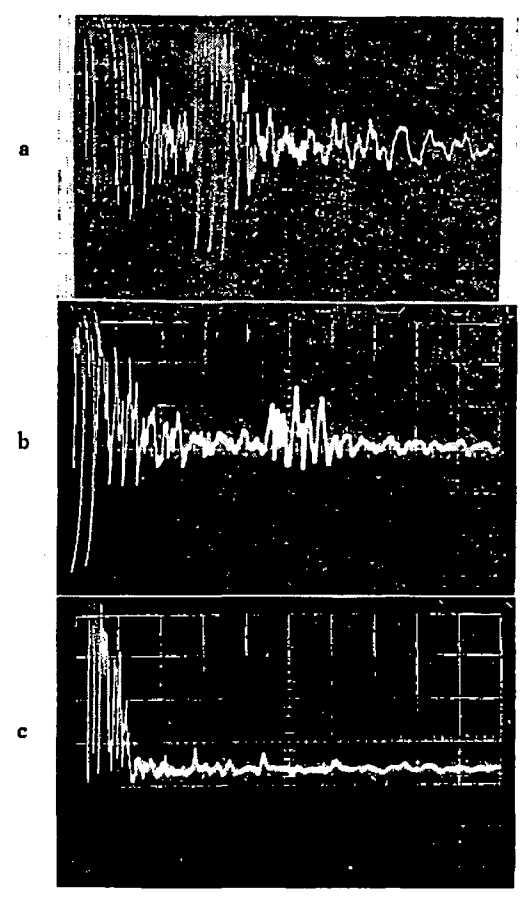


Fig. 9 Oscillograms for picric acid (fired) (sweep speed: 500 \( \mu\)sec/sectin)

- (a) Perfect explosion
- (b) Perfect explosion
- (c) Partly exploded

るが、cはこれが1ケのみである。前2者は共に完爆し、残薬がない場合であり、cでは約½ 量の残薬がある半燥の場合の波形である。この場合爆発音も小さい。

このように P. A. では一般に残薬を残し、音も小さいいわゆる半燥の場合には、そのオシログラムは振動の波形が 1 ケのみであるが、完爆したときのオシログラムは爆発による振動波形が 2 つ現われている。この 2 つの波形の夫々の立上りの時刻の間の時間は 9 a 9 b で夫々 1.3 msec, 2.3 msec である。このようにこの値は個々の場合で一定していない。

Tetryl の爆発波形は Fig. 10 に示すように, P.A. のそれのような完爆, 半燥によるきわだつた変化を示さない。

しかし他の爆薬の場合と同じく、少しでも反応すれば不爆の場合とは、はつきり差のある大きな爆発波形

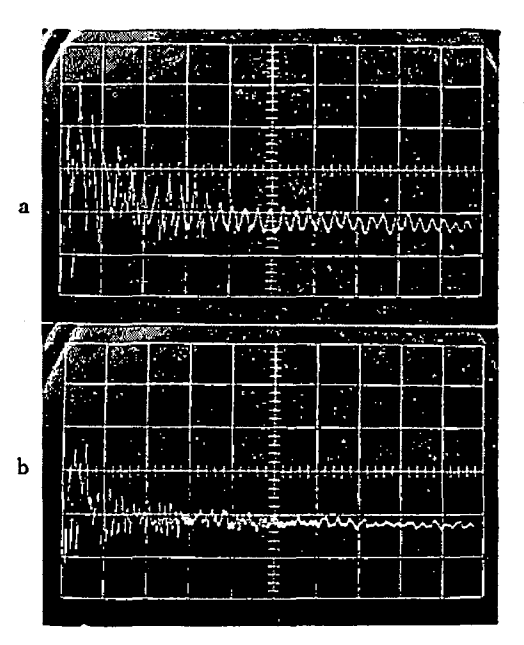


Fig. 10 Oscillograms for tetryl (sweep speed: 500 \( \text{µsec/sec} \) (Y-axis: 433 G/section )

- (a) Half explosion, fall height 30cm
- (b) Perfect explosion, fall height 30cm

が生じている。10 a の場合は試料の錫箔に 2 ケ所小さ な穴を生じてその部分のみが反応したのみでありその 振動波形も振幅は比較的小さいが,この場合でも不爆 の場合とはつきり差がある。

### 4. 考 察

落槌の落下時間測定の結果から見ると、落下速度は 調整に注意すれば十分よい再現性をもち、試験結果の 再現性を左右するのはこれ以外の多くの要因の影響の 方が大切であると考えられる。例えば頌柱及びアンビ ルの硬度、これらの試料に接する面の平面度、又打撃 の方向の不ぞろい等の試験機自体の問題と、これらよ りもつと影響の大きいと思われるものに、試料の作り 方即ちその厚さ,面積,錫箔による包み方,又は試料 を包まず裸で打撃するか否か等の試料隅製の面での不 ぞろいがある。薬量については桁違いの薬量を使わぬ 限り,60mg~120mg 程度の薬量変化はオシログラム 波形から見て余り影響しないようである。爆薬の爆否 が刺戟値に対して本質上確率分布するものと考えられ るから、これら要因が全て制御されても爆否は一定し ない筈であるが、ある程度以上多くの試験を行えば、 この落高に対する爆発の確率分布が再現性よく求めら れるであろう。

加速度計によるオシログラムから判るように,少く とも錫箔で薬を包んだ試料に対しては,落槌の打撃に よりまず試料は圧填され、(例パラフィン波形の初期) 次いで薬種個々に特徴的な経過で断熱的に圧縮を受ける。このときの最大圧力は落高の対数に比例して変り、落高 25cm では各薬種で 500 気圧前後の値である。又圧縮の時間は薬量従つて薬厚の増すにつれて増加している。又薬を入れぬ器箔容器のみの場合でも、この圧縮波形が現われていて、錫箔容器の使用により密閉度が良くなり、断熱圧縮による内包空気の温度上昇を容易にしているように思われる。断熱圧縮により理想気体の温度は初期温度 T<sub>1</sub>°K から T<sub>2</sub>°K に上昇しこれらの間には次の関係が成立つ

# $T_2 = T_1 (P_2/P_1)^{(r-1)/r}$

ここに  $P_1$ , は気体の初期圧力,  $P_2$  は最終圧力であり、  $\gamma$  は比熱比である。この式を用い初期温度  $20^{\circ}$ C の空 気の温度変化を空気に対する比熱比  $\gamma$  の温度 $^{\circ}$ 変化を 考慮して算出すると、Fig. 11 のようになる。

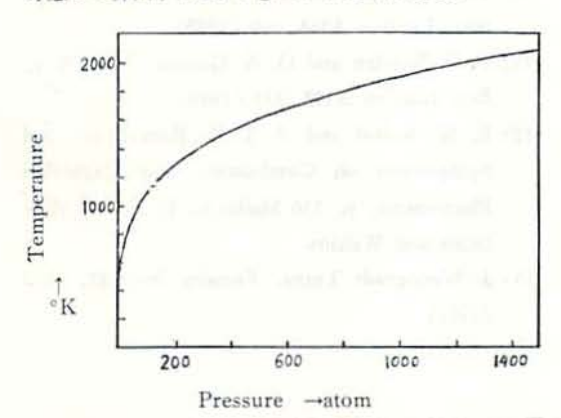


Fig. 11 Temperature variation of air initially at 20°C, one atm. by adiabatic compression

これを見ると 500 気圧程度では内包された空気は、 伝導其他による熱損失がないものとすれば 1,200℃ 前 後の高温に達する。一方 Bowden 等の研究によれば、 数種の爆薬の断熱圧縮された空気内での起爆 温度 は 400°C から 690°C の間にあり、特に P. E. T. N. では 460°  $\sim 500$ °C となつている $^{91}$ 。 一方 Fig. 8 b の最大 圧縮圧力  $P_m$  は約 750 気圧、このときの空気温度は損 失がないものとして約 1,490°C である。又 8 c, 8 d では圧力にして約 750 気圧、650 気圧、理想的到達温 度にして 1,490°C, 1,440°C の所ではじめて爆発波形 が始まつている。勿論これらは Bowden 等のいう最 低起爆温度ではなく、又実際の到達温度も、熱が囲り の爆薬や鋼柱等に吸収される為、理論値よりもずつと 低くなつているものと思われる。

何れにしても, 試料を打撃すると, 内包された空気

は断熱的に圧縮されて十分な高温に達し、周囲の既に 液化していると思われる爆薬が細滴となつてこの気泡 内に飛散し<sup>10</sup>,この内部で着火するものと考えられる。

打撃の始まりから着火汔の遅れの時間については, 直接比較しうる実験条件の下で得られた測定値はない が、Bowden and Gurton (1) は鋼球の落下衝撃による 起爆の時間遅れを爆発光のドラムカメラによる記録に より測定し、P.E.T.N.に対して、落高により変化す るが、60µsec~145µsec の値を得ている。又 Rideal 等は)の実験でも同程度の値が報告されている。Wenograd<sup>13)</sup> は注射針中に試料爆薬を込め、針を通じて **蓄電気をパルス放電して試料を加熱する方式により** 各種提準の記機温度並びに記機遅れを測定した, 起爆 の遅れは高温になる程矩かくなつているが、おくれ時 間の対数と試料の絶対温度の逆数との間には広い範囲 に亘つて直線関係が成立つていることを示した。彼の P. E. T. N. に対するこの関係を示した曲線を用い我々 の 8b, 8c, 8d, 8e の時間遅れ Te に対する温度を 推定すると、400°C~450° 程度となる。Wenograd の 実験と我々の実験とでは、試料の加熱の方式従って温 度の時間的変化が違うが,以上によって推定される 400~450°C 程度の起爆温度は妥当なものと思われ る。即ち,実際は伝導其他による熱損失により気泡温 度は最大圧力から理想気体の断熱圧縮の仮定を用いて 得られた1,400℃以上の温度には到達していないもの と思われる。

ピクリン酸では、完爆すると爆発振動波形に 1~数 msec の時間をへだてた2つの山が現われる。第1, 第2の山の間の時間々隔は、第2回目の爆発のときに は落槌は既に或程度反跳している筈であり、オシログ ラム上での2振動間の時間より幾分短かいものと思わ れるが、ほぼこの時間に一致するものと考えてよかろ う。即ちピクリン酸では完爆のときには爆発は前後2 回に 1~数msec をへだてて起り、第2回目の起爆が うまくいかないと半爆現象がおこるように思われる。 落槌が反跳すると, 圧力は減じ, 断熱膨脹の為内包さ れた空気は冷却する。もしも着火しても燃速が遅く, 分解熱も小さければ,この冷却期間に這入る迄に,反 応は self-sustaining なものとなり得ず、残薬が生ず るものと考えられる。ピクリン酸の場合はこのような 傾向が強く,その第2の爆発は上記の機構と別な機構 例えば、流動摩擦などによる hot spot の発生による ものと考えられよう。ピクリン酸の半爆試料の残薬は 鋼柱と支持 cap との間隙に流入固化していることが 多く,流動摩擦による着火の可能性を示している。

これらオシログラムの垂直方向即ち圧力 軸 の 振幅 は、爆発時のそれは、不爆時のそれに比して桁違いに 大きく,これにより爆否の判定は容易に行いうる。試 料の錫箔外包に小さな穴があいた程度でも振幅は不爆 波形の数倍にもなり、ただこの大振幅の継続時間が短 かい丈である。この事実は又ピクリン酸の半爆現象発 生の原因についての考え方を支持するものである。

#### 5. 結 び

落槌の落下時間を測定し、落下速度が落槌感度試験 機の測定のバラツキの大きな要因とはならぬことを示 した。

ピエゾ電気案子を落植頭部につけて打撃時の圧力の時間的変化を記録し、不活性試料、数種の爆薬について、これら記録を解析し、打撃の経過時間、最高圧力等の賭定数を求めた。尚簡単な仮定を用いて打撃により試料に加えられた仕事 W を計算し、落槌の位置エネルギー E に対する百分率を求め表示した。

又 P.E.T.N. については、打撃の開始から起爆迄の時間遅れを求め、これを文献値と比較考察した。ピクリン酸では完爆の場合、爆発が2回に分れて起つていることを示した。尚本実験に用いた方法は爆否の判定法として用いうる。

最後に本研究中終始、御指導銀いた本試験所の水島 容二郎氏に厚く感謝する。

### 凉 文

- 1) JIS K 4810 火浆類性能試験法
- 2) 大久保:昭和31年4月工業火薬協会解演 飯田:昭和33年4月 ″

飯田:大久保:昭和37年4月

- 3) 抑沢刚:工業火薬協会誌 21,249頁 山本,柳沢,鬼塚:昭和35年工業火薬協会講演
- 4) 柳沢刚:工業火薬協会は 21, 117頁
- Bulletin of the Geographical Survey Institute.
   Gravity Survey in Japan (3)
- 6) 川上正光潜「電子回路第5卷」105頁 共立出版社
- 7) 坪井忠二:振動論 451頁 河出書房
- I. I. Glass, W. Martin and G. N. Patterson: "A theoretical and Experimental Study of the Shock Tube" UTIA Report No. 2 Institute
- of Aerophysics, University of Toronto, november, 1953
- F. P. Bowden and A. D. Yoffe: "Initiation and Growth of Explosion in liquids and Solids" Cambridge, at the University Press, 1952
- C. H. Johannson and Others: Proc. Roy. Soc. London A246, 160 (1958)
- 11) F. P. Bowden and O. A. Gurton: Proc. Roy. Soc. London A198, 337 (1949)
- 12) E. K. Rideal and A. J. B. Robertson: 3rd Symposium on Combustion and Explosion Phenomena, p. 536 Madison, U. S. A.: Williams and Wilkins.
- J. Wenograd; Trans. Faraday Soc. 57, 1612
   (1961)

#### Initiation of Explosion by Drop Hammer Machine

by M. Kusakabe and N. Ishikawa

Experimental work is performed using our drop hammer machine which is adopted as a a standard apparatus for testing the impact sensitivity of explosives.

Sample is prepared in due size by enveloping suitable quantity of test material (60mg, 90 mg, 120mg) with two circular sheets of tin foil. The sample is placed on a steel anvil and covered with a cylindrical steel striker (cross-section; 1.297cm<sup>2</sup>). A 5kg drop hammer falls on the assembly from a known height.

Drop durations of the hammer for various fall heights are measured by a 10Mc electronic

counter. The results (Table 1) show that the fall speed of the hammer is reproducible and is not to be a main source of fluctuation of the sinsitivity values.

A new technique for recording the pressure variation during the short interval of hitting is developed. Piezo-electric element is fitted firmly to the top of the drop hammer and its out-put is amplified and fed into the Y-axis of an oscilloscope adjusted in single sweep manner (Photo.). The over-all weight of the hammer equipped with the element is adjusted to 5kg.

Oscillographic records for various dummy samples (Fig. 5) show the wave form is characteristic to each sample material and generally has a peak which corresponds to the maximum pressure during the compression of the sample (Fig. 6). The time interval from the onset of the wave to the peak  $(t_m)$  is increased with the sample amount (Table. 3). From the peak we can derive the maximum pressure  $P_m$  (Table 3). The work done to the sample during this compression process (W) is also estimated assuming a simple model (Table 3).

Induction periods to initiation are known from records for fired P. E. T. N. samples (Fig. 8), from those the initiation temperatu-

res are estimated to be between ca. 400—450 °C. Initiation pressures are als obtained from the records. These data are compared with the data of the previous publications.

Wave forms for perfectly exploded samples of picric acid (Fig. 9) are generally separated into two vibrations (which correspond to two successive explosions). Partly exploded sample has, however, a single violent oscillation in its oscillogram. This peculiar feature is discussed in relation to the mechanism of initiation of explosion,

Oacillations of misfired samples are much less in their amplitudes compared to those of the fired ones. This fact is useful as a criterion of explosion.

# 危険物質の鉄管試験法(I)

大久保正八郎 • 飯 田 稔\*

#### I. 緒 論

従来行なわれてきた火薬類の安全性に関する 試験 は,各種安定度試験(自然分解に関するもの),発火 点試験等熱に対する感度), 落槌試験, 摩擦試験等(機 械的衝撃に対する感度) 等あるが、このうち安定度試 験は主として硝酸エステル類に必要なもので今この自 然分解による災害を一応除外して考えれば、一般的に は災害と関連性のあるのは熱感度と機械的衝撃感度で ある。すなわち、何かの原因で着火し、燃え広がり、 火災となり、又はその熱の畜積によりついには爆塵と なる、という場合と、何らかの原因により危険物の上 に重いものが落ちてきて発火、爆塵するとか、混合中 に異物が入り摩擦により発火、燥塵する、というよう なのが事故の大部分である。このようなことは火薬類 と定義されたものでなくとも、例えば過酸化物とか、 低ニトロ化合物(多くは染料中間体)とか、或はその 他の一般化学薬品、肥料、農薬等についても起りうる 場合が多い。

ここでもう一度事故の過程について解析的に考えて みよう。先づ不幸にして危険物の一部に着火又は小爆 発が起つたとする。この時消火してしまうか爆発がそ の部分で止つてしまえば被害は少なくて済むわけであ る。すなわち火や爆発が伝つて発展するから大事故に なるのである。ここで単なる伝火については省略し、 爆発の場合のみについて考えてみる。前述の如く先づ 一部で 爆発が起る。この爆発はその危険物の一部で 起る場合もあるし、他の物質である場合もある。そこ で一応他の物質が先づ小爆発を起したとする。(1) こ れに近接している物質がその爆轟を受けて 誘 爆 す る か、しないか、が先づ問題になる。これにはその最初 の爆発の強さが関係するが、後述の如く我々が試験を する場合には RDX 数 g を 6 号電気電管で起爆する。 これは火薬を利用する場合の起爆力としてはそう強い 方でもなく、これだけでは完爆出来ぬようなこともあ るが一応弱くとも何とか起爆出来る量であり、災害と しての起爆力としては割合強い方ともいえる。すなわ ち、火薬工場以外の所での、又は火薬そのものから起 きたものでない災害は大体初めからそう完全な、この

昭和38年12月10日受理

<sup>•</sup> 東京工業試験所第7部 神奈県平塚市